

京大防災研究所 正 芦田和男
大阪府 土木部 正木村昌弘

著者らはさきに¹⁾、砂礫粒子の確率的な運動特性と水流との乱流構造との関連のもとで河床波の発生を導き、初期における河床波の成長特性を考察した。その結果、河床波のパワースペクトル $S(k)$ 、分散 δ^2 、及び卓越波長 λ 、について理論的に次の諸式が得られた。

$$S(k) = \beta^2 U_*^2 \int_0^{t'_0} e^{-\frac{U_* t}{(B_p - 1) g d}} dt, d = \frac{l}{L}, \frac{1}{\lambda} = \frac{1}{(l/L)^2} \left\{ \frac{1}{1 + (Lk)^2} - \frac{1}{1 + (lk)^2} \right\} \quad \text{①}$$

$$\text{Dune : } \delta^2 / H^2 = 1.7 \times 10^{-5} \frac{l}{(1 + l/L)} \quad \text{②} \quad t'_0 = \frac{\lambda_{DE}}{Hd} = 27.3 [Hd]$$

$$\text{Ripple : } \delta^2 / d^2 = 43 \frac{l}{1 + l/L} \quad \text{③} \quad t'_R = \frac{\lambda_{RI}}{d} = 335d$$

ここに $B_p = 5.7 \times 10^{-2} U_* / [(B_p - 1)gd]$, U_* : 防歓速度, t : 時間

d : 粒径, l : 平均跳躍距離 $t_R = U_*^2 / (B_p - 1)gd$

L : Lagrange的平均乱れスケール $t'_0 = t/t_{ER}$, $t_{ER} = \pi/2 t_0 = 0.15 H/U_*$ $t_{ER} = 76d/U_b$

U_b : 河床迎傍流速, H : 水深, である。本報では河床波の発生の水路実験について記し、これの理論

の検証及び成長過程の実験的考察を行なう。

(1) 河床波の形成過程に関する実験; 実験水路は全長20m巾50cmの町度こう配水路である。河床の計測は超音波河床測定器を台車に固定し、下流からロープで引き一定速度(25cm/sec)で移動させることによりて行なった。実験砂は粒径0.5mmのほぼ均一砂である。まず砂を厚さ13cmに數々スクレーパーで所定のこう配にしたのち通水し、初期においては5分から10分間隔で通水後30分以後は15~30分間隔で最大3時間まで通水しながら河床の凹凸を計測した。

各実験条件は表-1に示す通りであり、計測器より出力されるアナログデータを磁気テープに録音し、A-D変換器によってデジタル化して紙テープにパンチさせ、電子計算機(RDG-II)により自己相関係数及びパワースペクトルを計算した。なおこの解析は上下流端の影響を考慮して水路中央部8mを対象とした。各データの個数は1500、最大ずれ数は150、最小読み取り間隔0.5cmである。

(2) 実験及び解析結果; 図-2、図-3は相関係数及びパワースペクトルの一例である。これらより平坦河床から河床波が成長していく過程が明確に把握された。図-4、図-5は河床スペクトルのパワーの集中度をよりわかりやすくするため $\log S(k) \sim \log k$ でプロットしたものであるが、これによれば2つの河床波の成長過程の相異がはつきりと理解できる。RUN Aでは通水後5分くらいで河床に卓越波長があらわれ、時間の経過とともにその部分に集中する形式でパワーを増大させ、比較的早く安定し、最終的に鋭いピークをもつた河床波が形成さ

表-1 実験条件

RUN	流量 (l/sec)	こう配 (l^2)	摩擦係数 U_b (cm/sec)	粒径 ミリ (mm)
7	30	0.166	3.73	18.6
8	35	0.20	4.17	20.9
9	35	0.25	4.50	22.5
10	40	0.25	4.69	23.4

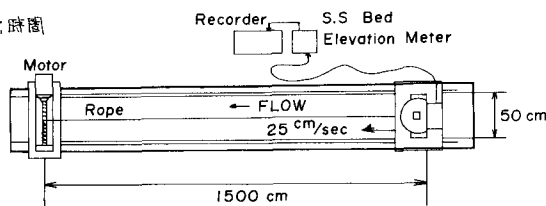


図-1 実験装置

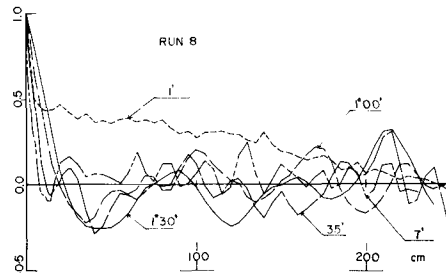


図-2 相関係数

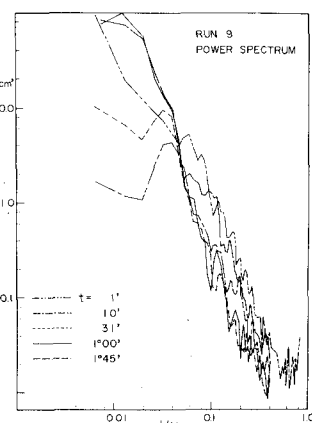


図-3 パワースペクトル

れる。一方RUN 9については通水直後白色雜音的ヒパワーの分布を持っていた河床にやがて卓越波長があらわれ、それが低波数へ移行しながら全体のパワーを増大していく。これら2つの河床波の発生形態は前者はRippleに後者はDuneに対応するものと考えられ、これらの特性は成長過程にありても異なっていることを示すものである。

分散の増加速度；図-6は $k_s = 0.05\text{cm}$ (k_s :相手粗度)として②式より分散の時間的変化を求めて実験値と比較したものである。Ripple Bedに対してRun 7は実験Caseが少なくて結論は出せないがDune BedであるRun 8へ10へに対するよく一致し前報で導いた理論の妥当性を示すものと言えよう。

卓越波長；図-7は③式によって計算した初期の河床の卓越波長と実測値とを比較したものであり両者はほぼ一致する。しかし本実験条件では初期波長を支配する理論的パラメータである砂の粒径 R_s 及び水深の変化幅が少なく理論を検証するには不完全であり今後の検討がまたされる。

相關関数及びパワースペクトル；図-8、図-9は理論的に導いた初期の相關関数とパワースペクトルを標準化したものと、通水後10分における実測からのそれらとを図示したものである。図-9によればピークを生じる波数は理論値と実験値で一致するが理論値は実験値に対して高波数側のパワーが高くピーク付近の集中度は低い。これは比較的早い時期に形成される水流のはく離を全く考慮していないこと、河床の凹凸が砂の安息角を越えないと砂自身の特性を本理論は考慮していないためであると考えられる。事実乱れの場所は次積率までで横振れ²⁾、河床の凸部下流での高さの6倍までの河床付近流速が零という条件を加えて流速変動との対応で砂粒子をランダムにピックアップし下流へ堆積させる方法ではなく離を含む過程をコンピュータ・シミュレートし、それより算定した河床波のスペクトルは実験値と比較的よく一致する。又高波数側における実測スペクトルのミスマッチは日野によって導かれた一乗に一致する。これらより河床波の構造を本質的に支配するのは水流の乱れの構造であり、それに砂自身の特性とはくり作用となりフィルタ効果が付加されるものと結論される。

参考文献：1)芦田、木村「Sandwavesの発生過程に関する研究」関西支局年次講演会講演集(BB和48年)

2)木村昌弘「砂連の発生機構に関する研究」京都大学修士論文(昭和48年)

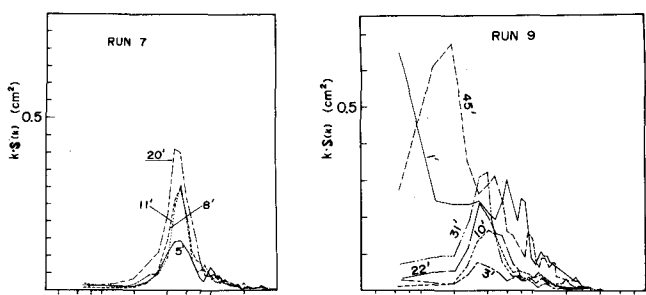


図-4 $kS(k) \sim \log k$ (Run 7)

図-5 $kS(k) \sim \log k$ (Run 9)

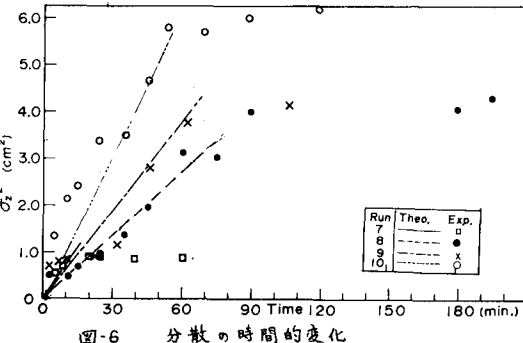


図-6 分散の時間的変化

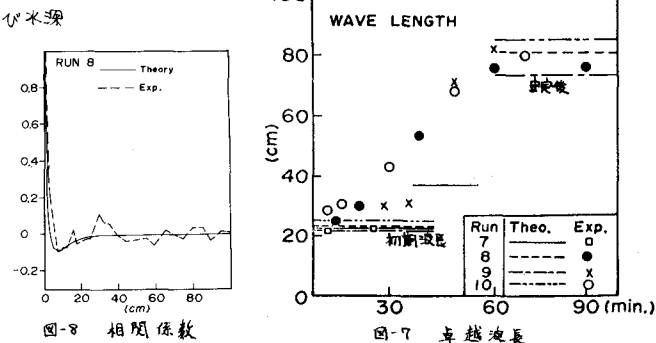


図-7 卓越波長

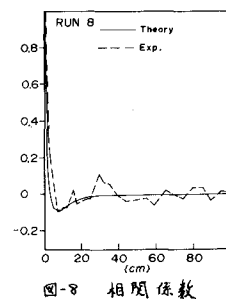


図-8 相関関数

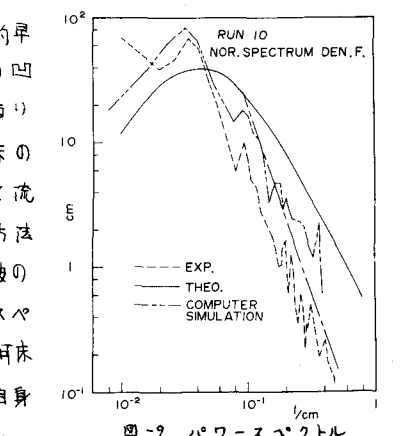


図-9 パワースペクトル